

센서리스 PMSM의 저속영역에서 성능 개선

이동희, 신성락, 권영안
부산대학교 전기공학과

Performance Improvement in Low Speed Range of Sensorless PMSM

D. H. Lee, S. L. Shin and Y. A. Kwon
Department of Electrical Engineering, Pusan National University

Abstract - Sensorless PMSM is much studied for the industrial applications and home appliances because a mechanical sensor reduce reliability and increases cost. Most of sensorless algorithm have poor performances in a low speed range. This paper investigates performance improvement in a low speed range of PMSM. The proposed control scheme is based on the optimization of ratio between the command and dc-link voltages. The experiment is performed in this study, and the result shows the improved performance in a low speed range.

1. 서 론

PMSM은 높은 전력밀도와 고정밀 제어 특성으로 많은 산업현장과 가전기기에 광범위하게 응용되고 있으며, 최근에는 위치 및 속도 센서를 사용하지 않는 센서리스 방식의 연구가 많이 이루어지고 있다.[1,2] 대부분의 센서리스 제어 알고리즘은 저속 영역에서 상대적으로 저하된 성능을 나타낸다.

본 논문은 센서리스 PMSM의 저속 운전 영역에서의 성능개선을 위한 구동시스템 구성과 알고리즘에 관한 연구이다. 본 논문에서는 전압형 PWM 인버터의 출력전압과 지령전압의 오차에 대한 원인을 분석하고, 인버터 출력전압의 지령전압에 대한 추종 정도를 개선하기 위하여 보다 효율적인 공간전압벡터 펄스폭변조방식을 제시한다. 이 방식은 유효전압을 인가하는 유효시간의 관점에서 SVPWM을 재구성하고 낮은 전압이 인가되는 저속운전영역에서 출력전압의 정도를 높이기 위해서 인가되는 유효전압벡터의 스위칭 시간을 한 샘플링 시간 내에서 최적화하는 방식이다. 본 방식에 의하여 구동되는 인버터 시스템을 센서리스 PMSM의 저속운전에 적용하여 제안된 알고리즘의 타당성을 검증한다.

2. SVPWM 인버터의 해석 및 성능개선

2.1 개선된 SVPWM

SVPWM 방식은 일반적으로 널리 사용되는 삼각파 비교 PWM 방식에 비해 정상상태에서의 전류 고조파 성분을 크게 억제할 수 있는 방식이다.[3] 그러나 기존의 SVPWM 방식은 인버터의 출력가능한 8개의 벡터에 기준하여 실제 스위칭 시간을 결정하므로 스위칭 시간을 결정하기 위해서는 지령전압벡터에 인접한 2개의 벡터를 선정하고 각각의 벡터가 인가되는 시간을 산출한 후 다시 각 상의 스위칭 시간을 재배열하는 구조를 가진다. 본 논문에서는 이러한 계산을 단순화하기 위하여 각 상의 스위칭시간을 전압이 인가되는 유효시간의 관점에서 SVPWM을 구성하는 방식을 연구한다.

본 논문에서 구현한 SVPWM의 스위칭 시간은 유효벡

터의 인가시간과 지령전압의 관계로부터 직접 계산된다. 지령전압과 유효벡터의 인가시간은 다음과 같다.

$$\int_0^{T_s} V^* = \int_0^{T_1} V_n dt + \int_{T_1}^{T_1+T_2} V_{n+1} dt + \int_{T_1+T_2}^{T_s} V_o dt \quad (1)$$

단, T_s : Sampling period

T_1, T_2 : 유효전압 벡터의 인가시간

V_n, V_{n+1}, V_o : 유효전압벡터 및 영전압벡터

3상 대칭의 가정에서 식(1)을 각 상에 인가되는 전압으로 나타내면 다음과 같다.

$$V_{MAX}^* = \frac{1}{3} V_{dc} \frac{T_1}{T_s} + \frac{2}{3} V_{dc} \frac{T_2}{T_s} \quad (2)$$

$$V_{MID}^* = \frac{1}{3} V_{dc} \frac{T_1}{T_s} - \frac{1}{3} V_{dc} \frac{T_2}{T_s} \quad (2)$$

$$V_{MIN}^* = -\frac{2}{3} V_{dc} \frac{T_1}{T_s} - \frac{1}{3} V_{dc} \frac{T_2}{T_s} \quad (2)$$

$$V_{MAX}^* + V_{MID}^* + V_{MIN}^* = 0 \quad (3)$$

단, $V_{MAX}^*, V_{MID}^*, V_{MIN}^*$ 은 각 상에 걸리는 전압의 크기를 비교하여 차례로 나타낸 전압이다.

식(2)로부터 계산되는 유효전압벡터 및 영전압벡터의 인가시간은 다음과 같다.

$$T_1 = -(V_{MAX}^* + 2V_{MIN}^*) \frac{T_s}{V_{dc}} \quad (4)$$

$$T_2 = (2V_{MAX}^* + V_{MIN}^*) \frac{T_s}{V_{dc}} \quad (4)$$

$$T_o = T_s - (T_1 + T_2)$$

종래의 SVPWM에서 전류리플을 억제하기 위한 방편으로서 영전압벡터 인가시간 T_o 를 분할하고 유효전압벡터의 양편으로 재구성하는 알고리즘을 제시한다. 본 논문에서는 직류 링크 전압을 가변 제어하여 유효전압의 인가시간을 적절히 제어함으로써 실제 영전압벡터 인가시간이 거의 영에 근접하게 제어하는 방식을 제안한다. 이 방식은 영전압벡터의 분할 및 재구성이 불필요한 장점을 가지며 각 상의 지령전압 중 최소 전압 지령치는 다른 두 상의 유효전압벡터 인가에 의해서 생성된다. 이 경우에 각 상의 스위칭 시간은 다음과 같다.

$$T_{MAX}^* = T_1 + T_2 \quad (5)$$

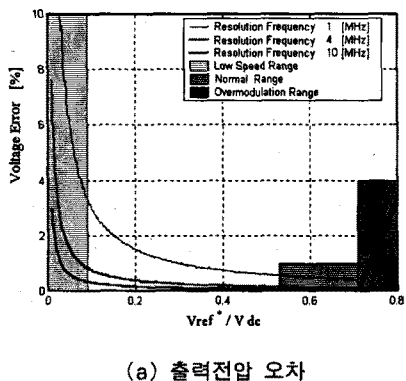
$$T_{MID}^* = T_1 \quad (5)$$

$$T_{MIN}^* = 0 \quad (5)$$

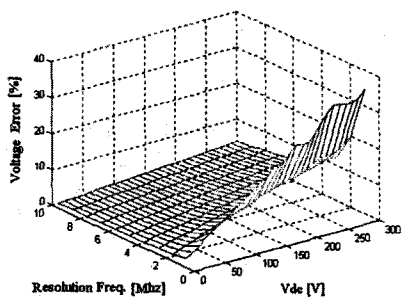
2.2 저속 영역에서의 개선 효과

SVPWM 방식으로 구동되는 인버터 시스템의 정도는 스위칭 패턴의 해상도 주파수, 샘플링시간, 지령전압과 직류 링크전압의 비율 V_{ref}^*/V_{dc} 에 따라 결정된다. 한편, PMSM의 저속 운전영역에서는 낮은 지령전압이 인기되므로 직류 링크전압이 일정한 경우에 인버터의 출력 전압의 정도가 저하된다. 본 논문에서는 가변 링크전압에 의해 이 문제를 극복하며 제안된 SVPWM의 스위칭 방식을 활용한다.

인버터 스위칭 소자가 이상적이라는 가정에서 SVPWM 인버터의 출력전압 오차와 해상도 주파수 및 V_{ref}^*/V_{dc} 의 상관 관계는 그림 1과 같다. 그림 1(a)는 샘플링시간이 100μs인 경우에 해상도 주파수 및 V_{ref}^*/V_{dc} 와 출력전압 오차의 상관 관계를 나타낸다. 그림에서 나타난 바와 같이 저속이 아닌 운전영역에서 SVPWM 인버터의 출력전압 오차는 매우 작지만 저속 운전영역 즉, V_{ref}^*/V_{dc} 비율이 낮은 영역에서는 출력전압 오차가 급격히 증가한다. 그림 1(b)는 V_{MAX}^* 가 5V인 경우에 출력전압 오차와 해상도 주파수 및 직류 링크전압의 상관 관계를 나타낸다. 그림에서 나타난 바와 같이 직류 링크전압을 적절히 조정한다면 지령전압이 낮은 저속영역에서 출력전압 오차가 크게 개선됨을 보이고 있다. 본 연구에서 구성한 가변 링크전압 구동시스템은 그림 2와 같다.



(a) 출력전압 오차



(b) $V_{MAX}^* = 5V$ 인 경우에 출력전압 오차
그림 1. 인버터 출력전압 오차의 상관 관계

3. 센서리스 속도제어

본 논문에서 적용한 PMSM의 센서리스 알고리즘은

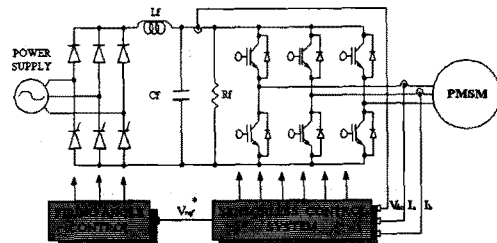


그림 2. 가변 링크전압 구동시스템

전동기의 전기적인 파라메터만을 이용하여 속도 및 위치를 추정하는 축소차수 상태관측기에 의한 방식이다.

PMSM의 영구자석을 일정전류가 흐르는 선으로 대치하는 경우, 고정자기준 좌표계에서의 전압방정식은 다음과 같다.

$$v_{as} = R_s i_{as} + L_s \frac{di_{as}}{dt} - K_e \omega_r \sin \theta_r, \quad (6)$$

$$v_{bs} = R_s i_{bs} + L_s \frac{di_{bs}}{dt} + K_e \omega_r \cos \theta_r,$$

$$\text{단. } K_e = \sqrt{\frac{3}{2}} MI_f, \quad \omega_r = \frac{d\theta_r}{dt}$$

PMSM의 전기적 파라메터를 이용한 전차수 상태관측기는 다음과 같다.

$$\dot{\hat{x}} = A\hat{x} + Br + L(y - \hat{y}) \quad (7)$$

$$\hat{i}_s = C\hat{x} \quad (8)$$

$$\text{단. } \hat{x} = [\hat{i}_{as}, \hat{i}_{bs}, \hat{E}_{as}, \hat{E}_{bs}]^T, \quad \hat{y} = [\hat{i}_{as}, \hat{i}_{bs}]^T$$

$$r = [v_{as}, v_{bs}]^T, \quad y = [i_{as}, i_{bs}]^T$$

$$[E_{as} E_{bs}]^T = [-K_e \omega_r \sin \theta_r, K_e \omega_r \cos \theta_r]$$

$$A_{11} = -(R_s/L_s) I, \quad A_{12} = -(1/L_s) I$$

$$A_{21} = B_2 = \begin{bmatrix} 0 & 0 \\ 0 & 0 \end{bmatrix}, \quad A_{22} = \omega_r J$$

$$B_1 = (1/L_s) I, \quad I = \begin{bmatrix} 1 & 0 \\ 0 & 1 \end{bmatrix}, \quad J = \begin{bmatrix} 0 & -1 \\ 1 & 0 \end{bmatrix}$$

식(7)에서 i_{as}, i_{bs} 를 측정치로 대치하는 축소차수 상태관측기를 구성하면 다음과 같다.

$$\dot{\hat{z}} = A_{22}\hat{z} + A_{21}y + B_2r + L(\hat{y} - \hat{z}) \quad (9)$$

식 (9)에서 피이드백 보정항에 전류의 미분이 포함되어 노이즈에 민감하므로 상태변수 $\hat{w} = \hat{z} - Ly$ 를 정의하여 구성한 축소차수 상태관측기는 다음과 같다.

$$\dot{\hat{w}} = F\hat{w} + Dy + Gr \quad (10)$$

$$\text{단. } F = A_{22} - LA_{12}$$

$$D = FL + A_{21} - LA_{11}$$

$$G = B_2 - LB_1$$

식(10)에서 추정된 역기전력으로부터 추정속도 및 위치는 다음과 같이 구한다.

$$\hat{\omega}_r = \text{sign}(\omega_r) \cdot \frac{1}{K_e} \sqrt{(\hat{E}_{\alpha}^2 + \hat{E}_{\beta}^2)} \quad (11)$$

$$\hat{\theta}_r = \tan^{-1}(-\hat{E}_{\alpha}/\hat{E}_{\beta}) \quad (12)$$

단. $\text{sign}(\omega_r)$: 속도의 방향

이상에서 기술한 상태관측기의 블록도는 그림 3와 같다.

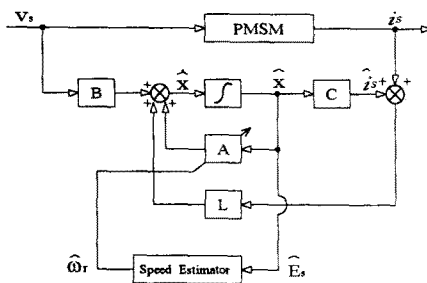
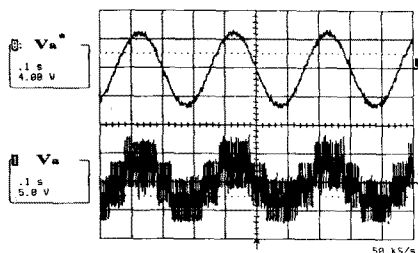
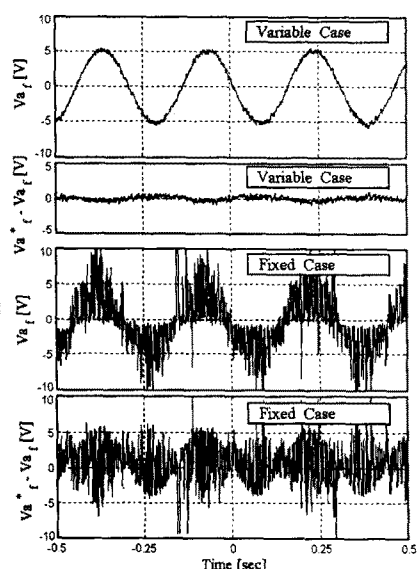


그림 3. 축소차수 상태관측기의 블록도



(a) 저령전압 및 스위칭전압

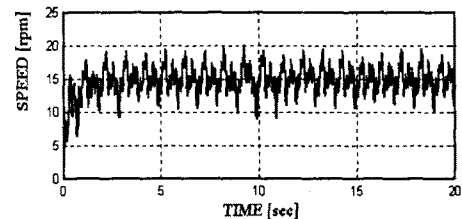


(b) 가변 및 고정 링크전압에서 상호 비교
그림 4. 인버터 출력전압 실험결과

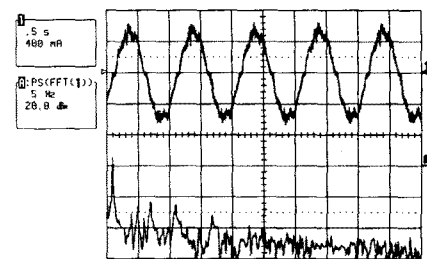
4. 실험 결과 및 검토

그림 4는 본 연구에서 제시한 알고리즘을 저령 전압 5V인 경우에 적용한 결과로서 그림 4(a)는 저령전압과 실제 스위칭 전압을 나타내고 그림 4(b)는 저역통과 필터를 거친 인버터의 출력전압을 나타낸다.

그림 5는 본 연구에서 구성한 전체시스템을 적용한 센서리스 속도제어 응답특성 및 상전류 파형을 나타낸다. 그림에서 나타난 바와 같이 저령속도 15rpm의 저속 운전에 대해서도 비교적 양호한 속도의 제어가 이루어짐을 보인다.



(a) 속도응답



(b) 상전류파형 및 고조파분석

그림 5. 속도응답 및 상전류파형 실험결과

5. 결 론

본 논문은 저속운전영역에서의 센서리스 PMSM의 성능개선에 관한 연구로서 최적의 출력전압을 생성하기 위하여 저령전압에 따라 직류 링크전압을 제어할 수 있는 인버터 시스템을 구현하였다. 그리고 인버터 구동은 SVPWM 방식으로 종래의 SVPWM 스위칭 시간의 계산과정을 개선하여 유효전압인버터의 인가시간으로부터 기준전압인버터에 대한 정보없이 각 상의 스위칭 시간을 직접 계산하는 방식으로 구현하였다. 제안된 SVPWM 인버터 시스템을 PMSM의 센서리스 속도제어에 적용하여 그 성능을 검증하였다. 실험결과에서 제시된 바와 같이 본 논문에서 제안한 알고리즘에 의해 출력전압 오차를 크게 개선하였으며 저속 운전 영역에서 상대적으로 양호한 속도응답을 나타내고 있다.

(참 고 문 헌)

- [1] K. Rajashekara, A. Kawamura and K. Matsuse, Sensorless Control of AC Motor Drives, IEEE Press, 1996
- [2] J. Holtz, "State of the Art of Controlled AC Drives without Speed Sensors", Int. J. Electronics, vol. 80, no. 2, pp. 249-263, 1996
- [3] H. W. Van der Broek, H. C. Skudelny, "Analysis and Realization of a Pulse Width Modulator Based on Voltage Space Vectors", IEEE IA-24, No. 1, pp. 142-150, 1988.